

焼鈍による鑄造歪の除去に就て

株式会社大隈鐵工所研究課同上飯田工場編

始



5 4 3 2 1 0 1 2 3 4 5

焼鉈による鑄造歪の除去に就て

昭和十六年十月

株式會社大隈鐵工所研究課
同 上飯田工場

498
4.6

566.3
0.59

1

燒鍊による鑄造歪の除去に就て

§ 1. 緒論

鋳造品には鋳放しの儘では相當の鋳造應力(Casting stress)が潜在して居るものであるから此の爲め將來機械部分品として使用中歪を生じ或は龜裂を起す原因となるものである故、工作機械のみならず、一般機械に於ても、質の向上、精度の維持の要求される今日、之れが除去の方法は機械製作の重要な一過程でなければならない。

而して又當社にても、上飯田工場に電氣炉の完成を見た。之れの使用上のヒントを與へるのがこの實驗の目的である。

2. 鑄造應力 (Casting stress) と鑄造歪 (Casting strain):—

鑄物を鑄造するに際して鑄型内に於て、その鑄塊が同じ状況下に凝固することは不可能にして、部分によりその冷却速度を異にする事は止むを得ない。

又凝固収縮をなすのみならず、凝固後も冷却につれて収縮するから弾性状態になれば、當然その冷却速度の不同により應力 (Stress) を生ずる。一熱應力 (Thermal stress)—之れが即ち鑄造應力 (Casting stress) にして、これによつて生ずる歪 (Strain) が鑄造歪 (Casting strain) である。

註一 由子礫の妨害により縮歪 (Casting strain) を生ずることあり。

而して冷却速度の急速なる部分には圧縮應力 (Compressive stress) を緩慢なる部分には引張り應力 (Tensile stress) を生ずる。

今 Fig. 1 の如き簡単なる解物の铸造に於ける铸造歪 (Casting strain) の発生状況を考察するに Fig. 1

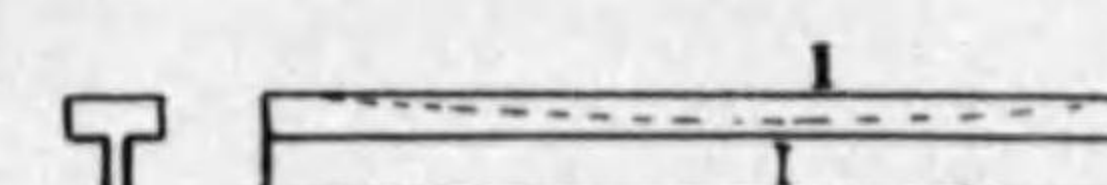


Fig 1 錫物の反り縮張
I 壓
II 引

に於て二つの部分の或る瞬間に於ける冷却速度は(1)式で表はされる。

t は温度、 z は時間

今近似値として $n = 1$ とおけば、 $\frac{dt}{dz} = -kt$ となり従つて

$$t = t_0 + e^{i\mathbf{k}z} \quad m_1 m_2 m_3 m_4 m_5 m_6 m_7 m_8 m_9 m_{10} \quad (2)$$

標數を表す k と $k+1$ の間

$$\left. \begin{array}{l} t_1 = t_0 \cdot e^{-k_1 z} \\ t_2 = t_0 \cdot e^{-k_2 z} \end{array} \right\} \dots \dots \dots \dots \dots \dots \dots \dots \dots \quad (3)$$

にして、冷却曲線は Fig. 2 の如くなる。

發行所寄贈本

更に N 側の細い棒も切斷し、そのときの L の長さを夫々 L_{M_a} 及 L_{N_a} とし

$$L_c = \frac{1}{2} (L_{M_a} + L_{N_a})$$

を求めた。

結局兩側の細い棒を切斷したことにより試験片の長さ L の伸縮 δ は

$$\delta = L - L_c$$

あらはされる。

依つて歪 (Strain) ε は

$$\varepsilon = \frac{L - L_c}{L}$$

$$\text{或は } \varepsilon = \frac{L - L_c}{L} \times 100\%$$

あらはされる。

註:—

$$\text{鋳造應力 (Casting stress)} \sigma = E \frac{L - L_c}{L} \text{ kg/mm}^2$$

E; ヤング係數 (Young's Modulus)

§ 4. 實驗に使用せし計器・器具:—

1. 加熱炉 電氣抵抗式加熱炉
「中山理化學研究所」
2. 高温計 (Pyrometer) 热電對溫度計
第一回測定 「平田電機製作所」
第二回測定 「日本ブラウン計器株式會社」
3. 測長器 櫃足式内測マイクロメーター
(Extensible inside micrometer)
「ツアイス」

§ 5. 「データ」:—

試験片の焼鈍温度 = $T^\circ\text{C}$

” 切断前の長さ = $L \text{ mm}$

” 切断後の長さ = $L_c \text{ mm}$

$$L - L_c = \delta \text{ mm}$$

$$\text{歪 (strain)} = \frac{L - L_c}{L} \times 100 = \varepsilon \%$$

こすれば實驗の結果は次表の如し。

第一回測定

第一回測定では焼鈍時間は何れも 2 時間とし焼鈍温度を 600°C ; 550°C ; 500°C ; 400°C ; 300°C ; と變化し夫々の場合の鋳造歪 (Casting strain) を測定した。

Table 1

試験片符號	$T^\circ\text{C}$	$L \text{ mm}$	$L_c \text{ mm}$	$\delta \text{ mm}$	$\varepsilon \%$
030-A	焼鈍せり	162.20	161.94	0.26	0.16
1500-A	"	162.19	161.91	0.28	0.17
030-B	600	162.21	162.21	0.00	0.00
1500-B	"	162.27	162.28	-0.01	-0.01 (?)
030-C	550	162.23	162.21	0.02	0.01
1500-C	"	162.26	162.24	0.02	0.01
030-D	500	162.05	161.98	0.07	0.04
1500-D	"	162.03	161.95	0.08	0.05
030-E	400	162.06	161.87	0.19	0.12
1500-E	"	162.06	161.86	0.20	0.12
030-F	300	162.57	162.32	0.25	0.15

註:— 試験片 030-A は鋳造後 30 分
1500-A は鋳造後 15 時間
にて取出せしものなり。

分 析 表

Table 2

全炭素量	珪素	マンガン	磷	硫黄
3.65	2.20	0.76	0.73	0.090

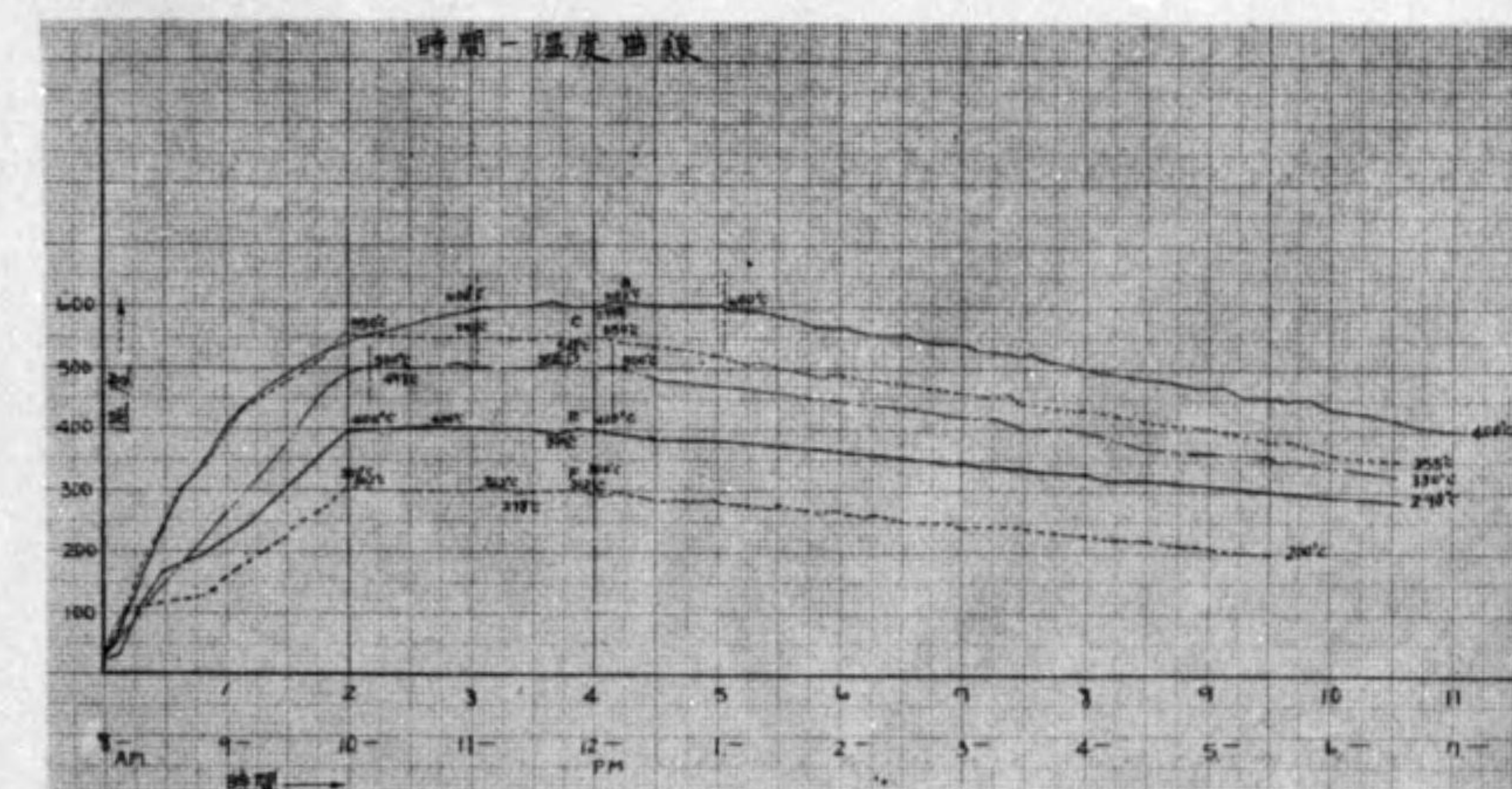


Fig. 7 備考—午後 6~7 時にスイッチを切り翌朝 7 時に大体 $100\sim50^\circ\text{C}$ 爐内の温度を得たり
焼鈍時間 2 時間

Fig 7—加熱開始後の時間経過と温度上昇の関係を示す。B～Fは試験片の符号で1500—, 030—, 共通である。

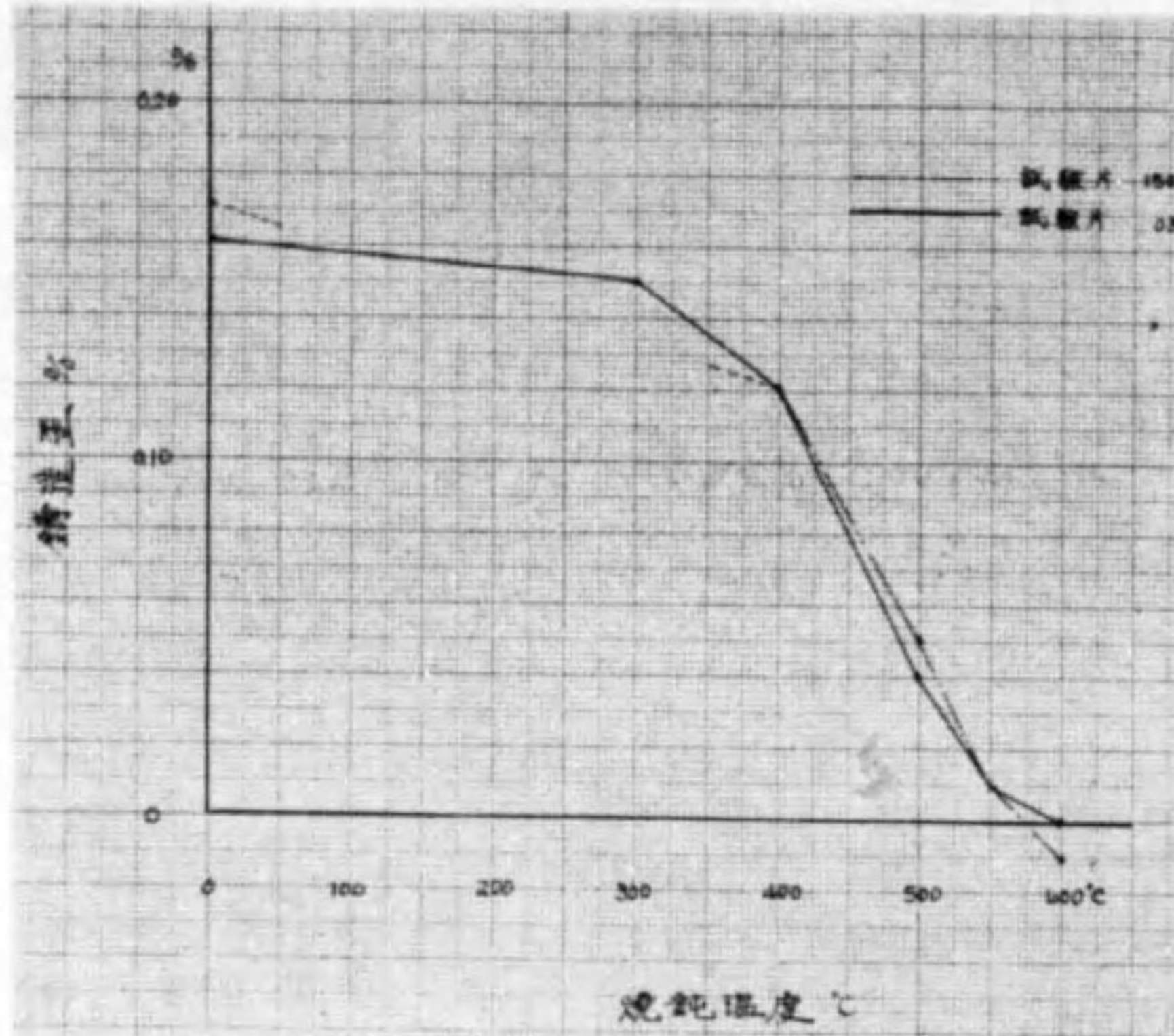


Fig 7 加熱時間と温度上昇の関係図

Fig 7—Table 1 の結果を「グラフ」に示す。

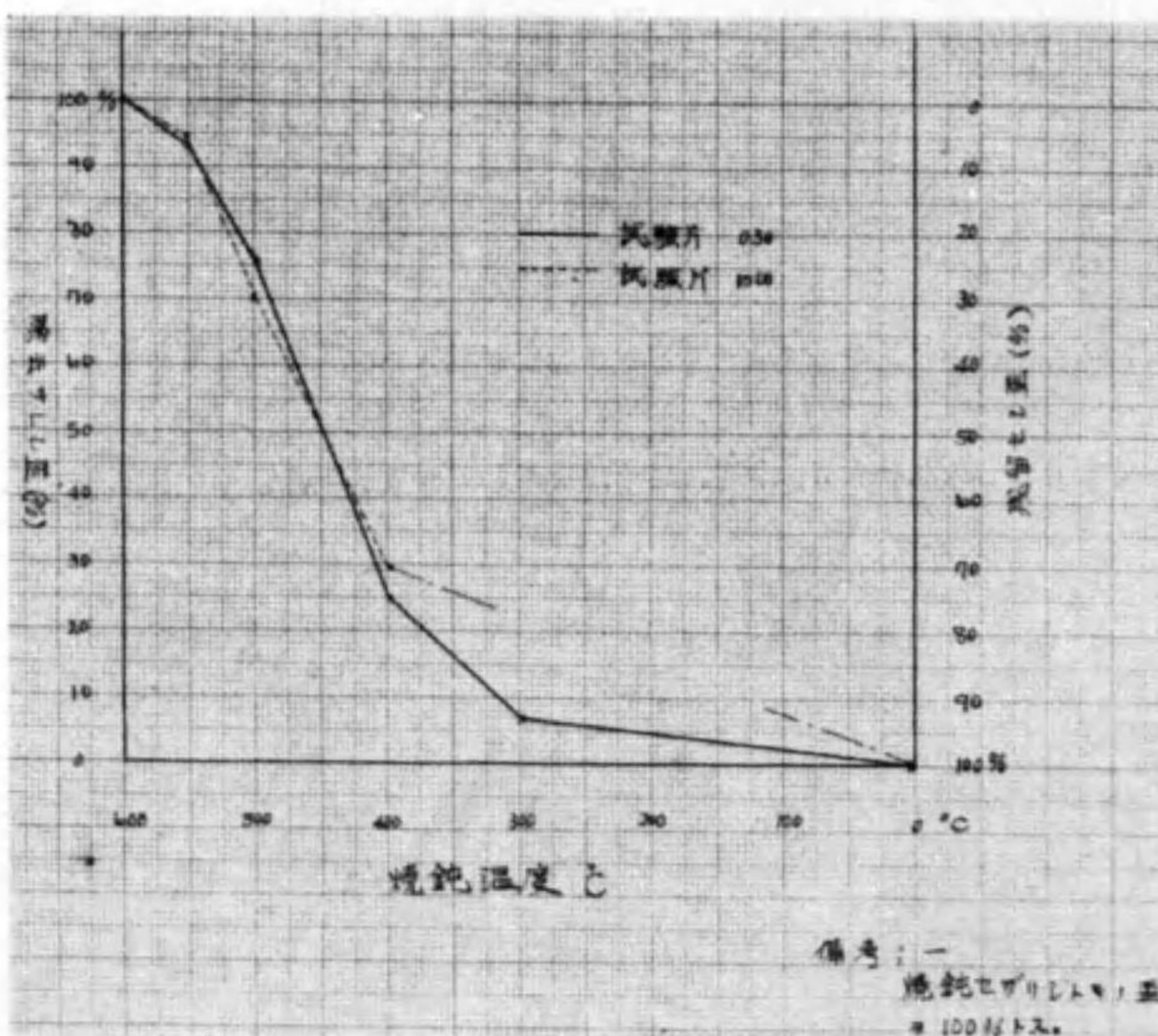


Fig 8 焼純温度と鋳造比の関係図(1)

Fig 8—Table 1 の結果を「グラフ」に示す。

第二回測定

第一回測定の結果よりみて、適當なる焼純温度は 550°C 位に思はれる。

依つて第二回測定に於ては 550°C に保持せる時間を変化して、その結果を測定した。

データは次の如くなる。

(符号は第一回測定のデータと同じものを用ひるものとする。)

Table 3

試験片符号	Tk ₅₅₀	Lmm	Lc mm	δ mm	r %
A	焼純セグ	162.74	162.44	0.30	0.18
B	0	162.71	162.67	0.04	0.02
C	½	163.42	163.40	0.02	0.01
D	1	162.72	162.70	0.02	0.01
E	1½	167.84	167.82	0.02	0.01
F	2	167.85	167.83	0.02	0.01
G	2½	167.89	167.87	0.02	0.01
H	3	167.85	167.83	0.02	0.01

註:— Tk₅₅₀ 焼純時間
鍛込温度 鍛込初め 1280°C
終り 1270°C
鍛込後 1 時間ニテ取出ス。

分析表

Table 4

全炭素量	珪素	マンガン	磷	硫黄
3.90	1.61	0.51	0.75	0.092

Fig 10～Fig 17—加熱開始後の時間経過と温度上昇との関係を示す。

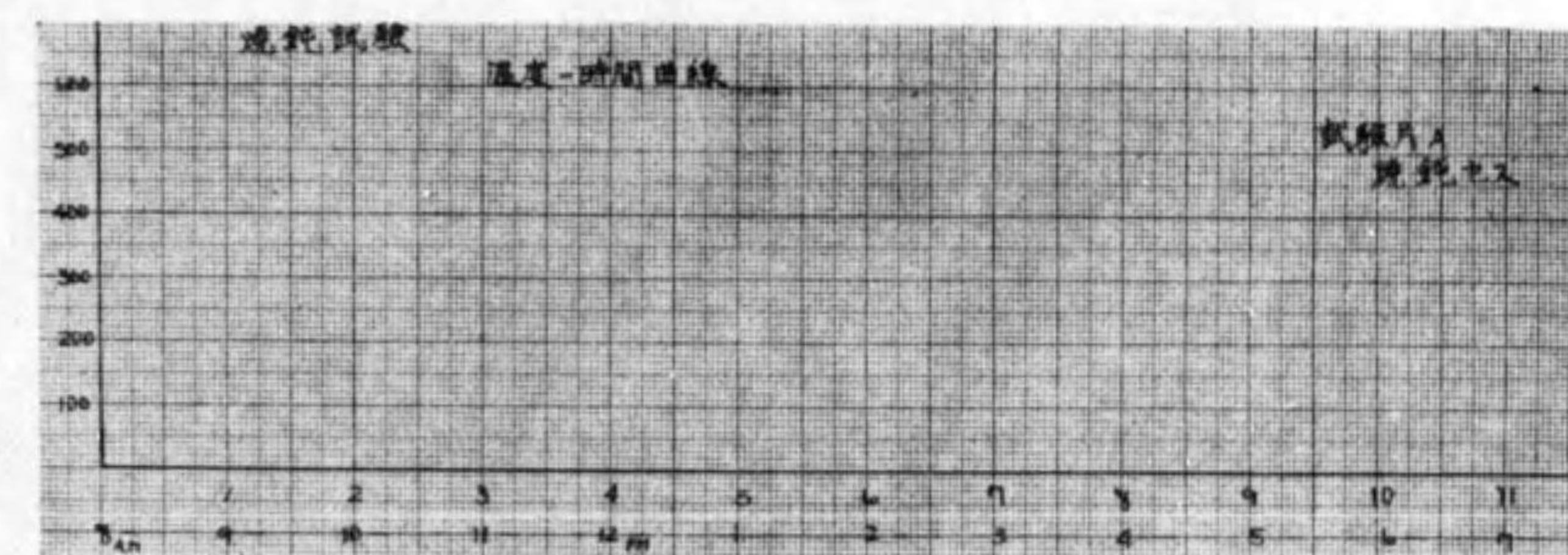


Fig 10 時間一焼純温度曲線

Fig 9—Table 1 及 Fig 8 より焼純により除去された正と残留せし正とを求め、之れを「グラフ」に示す。

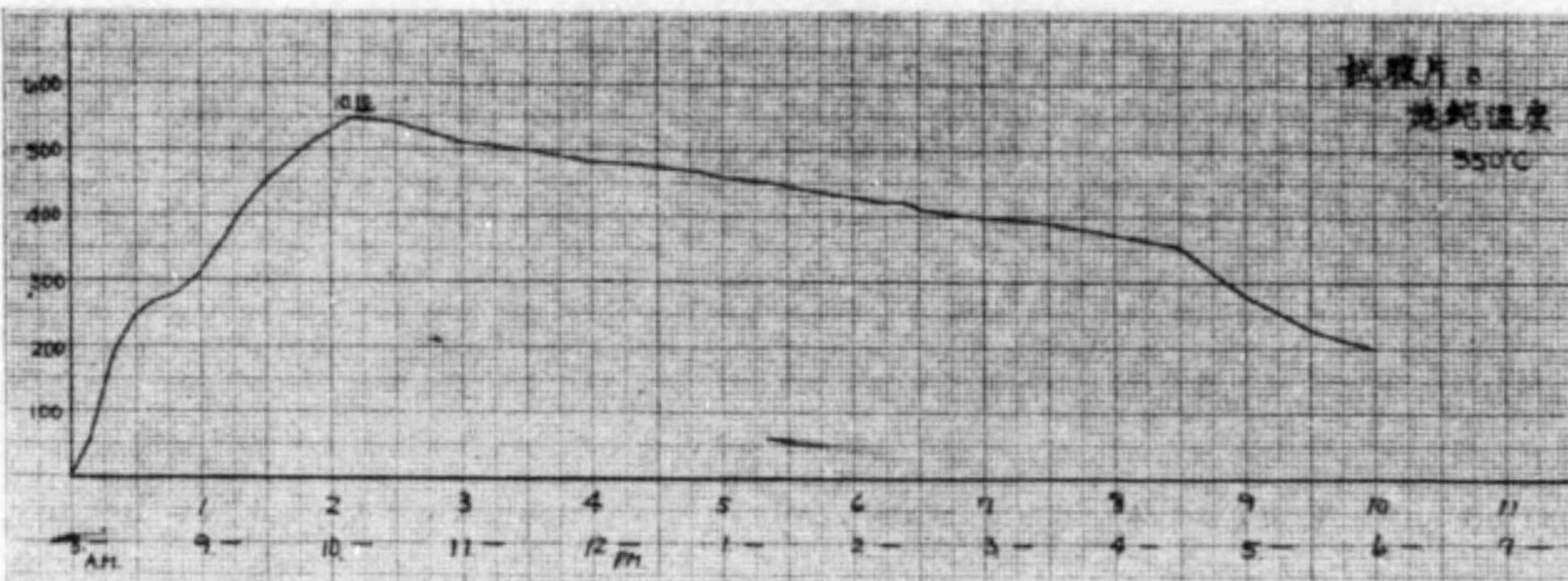


Fig. 11 時間一燒鈍溫度曲線

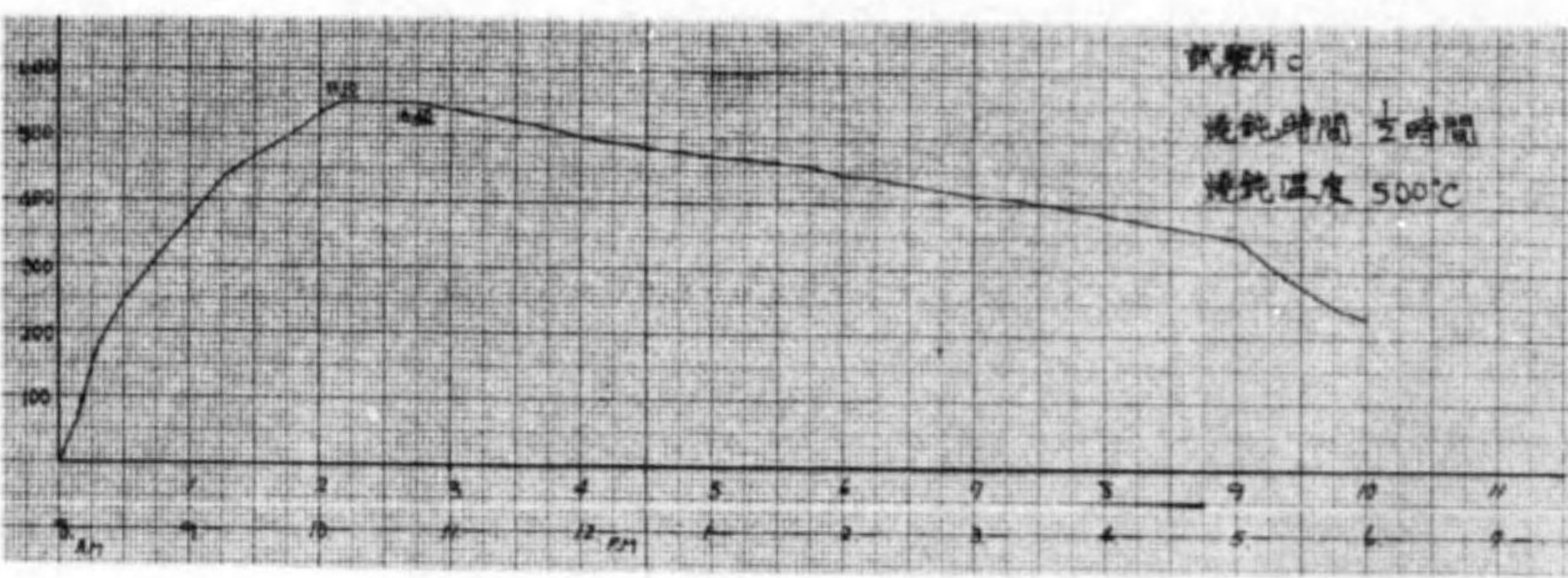


Fig. 12 時間一燒鈍溫度曲線

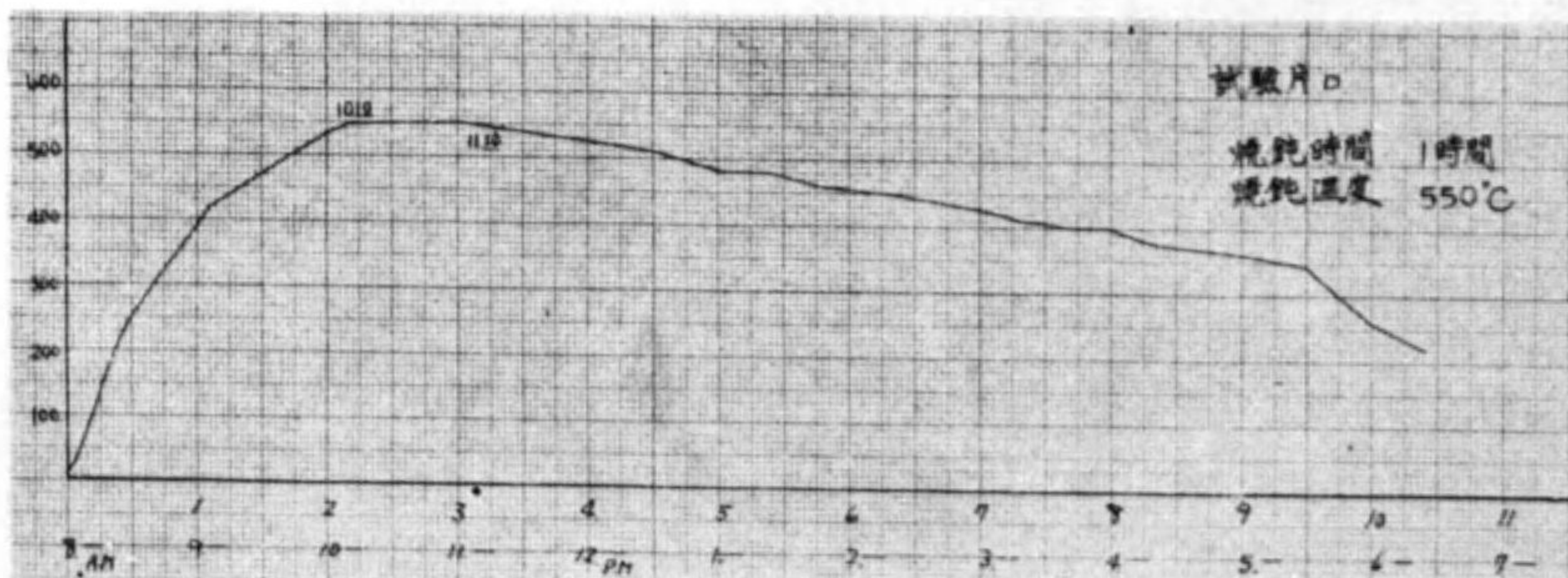


Fig. 13 時間一燒鈍溫度曲線

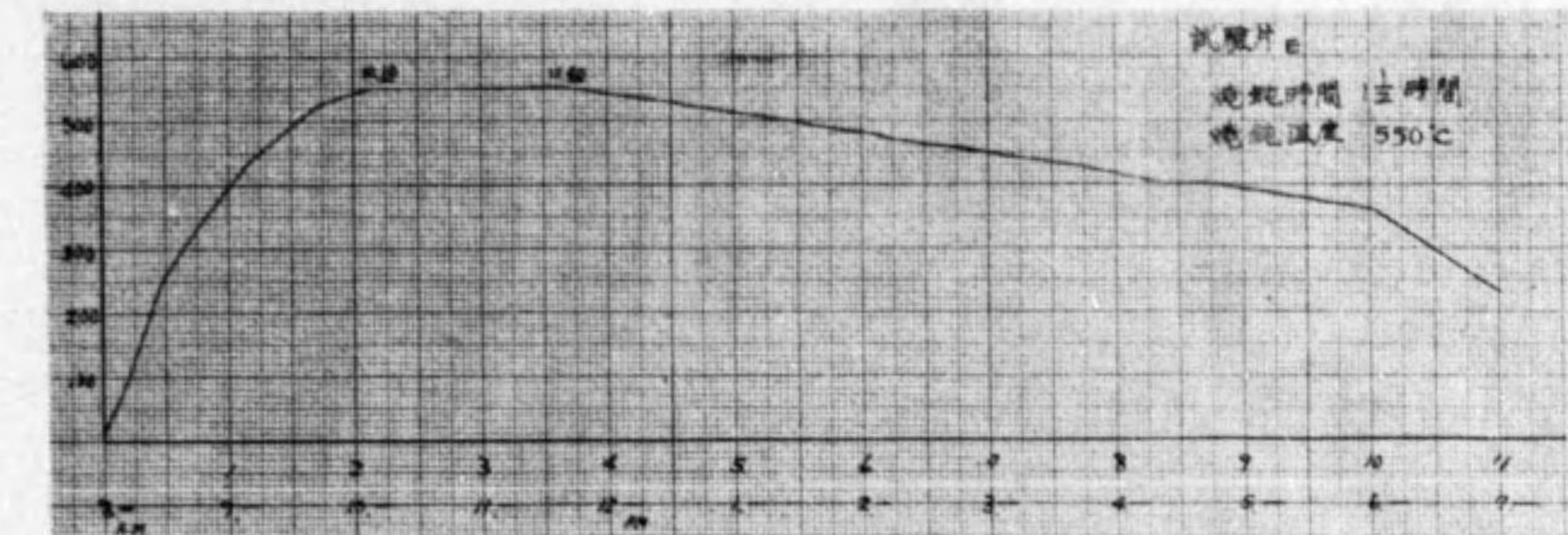


Fig. 14 時間一燒鈍溫度曲線

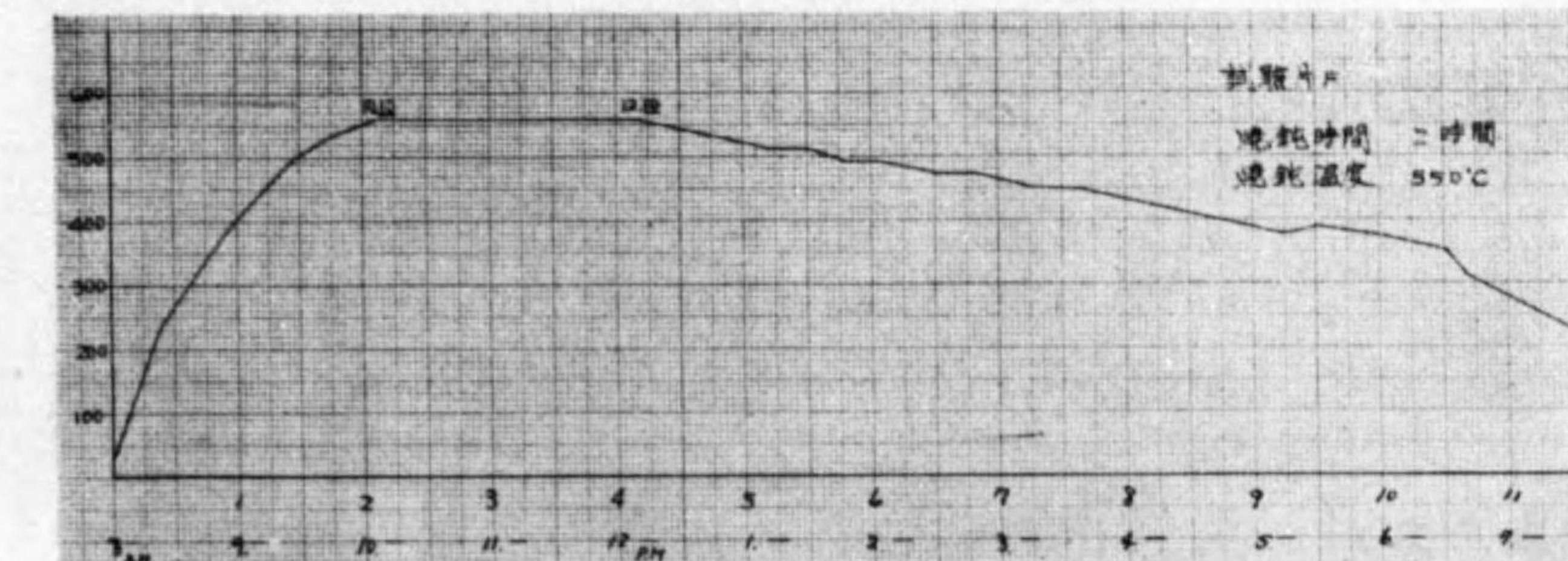


Fig. 15 時間一燒鈍溫度曲線

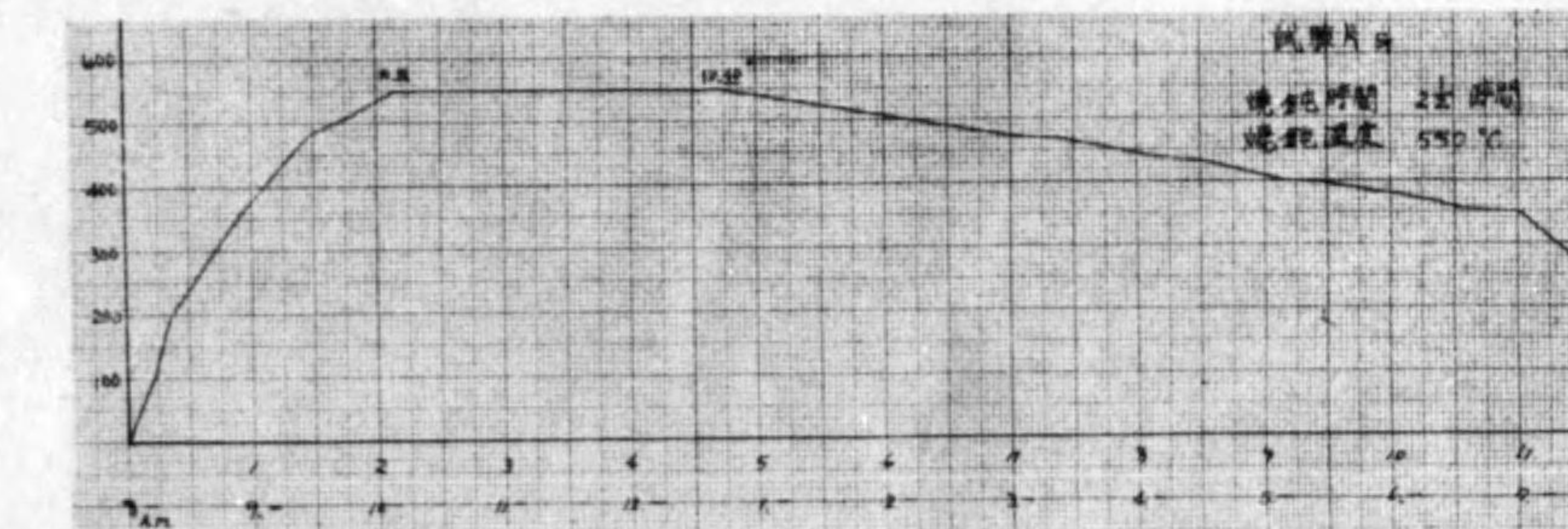


Fig. 16 時間一燒鈍溫度曲線

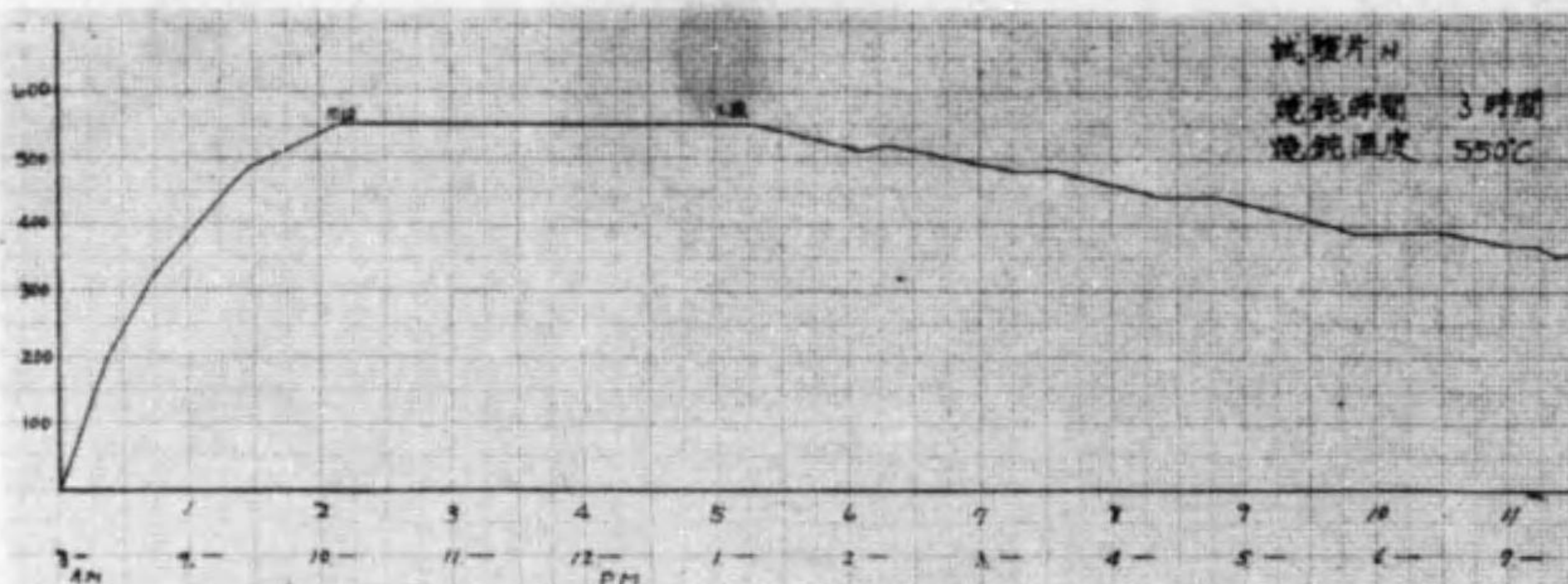


Fig. 17 時間—焼鈍温度曲線

Fig 18—Table 3 の結果を「グラフ」に示す。

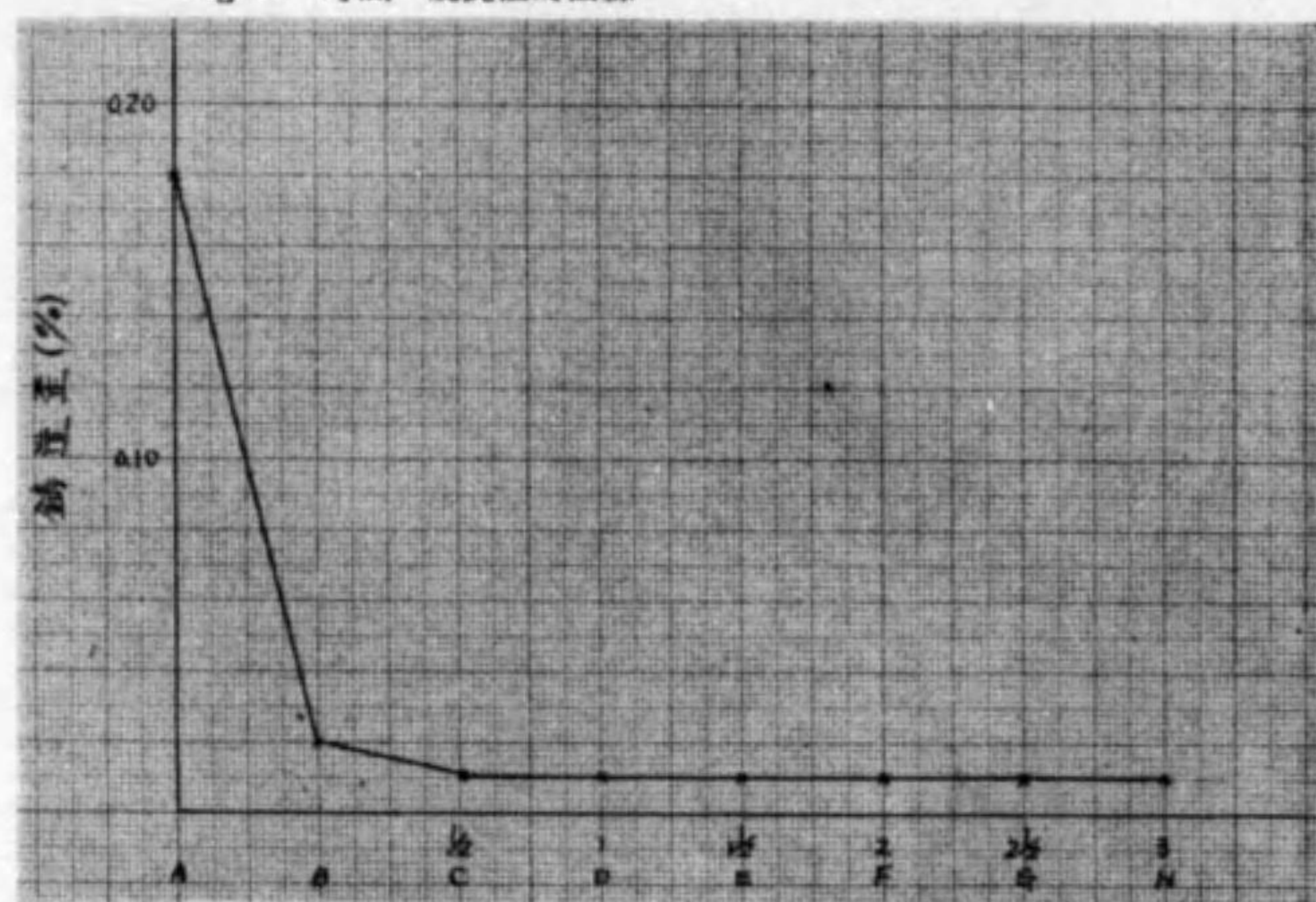
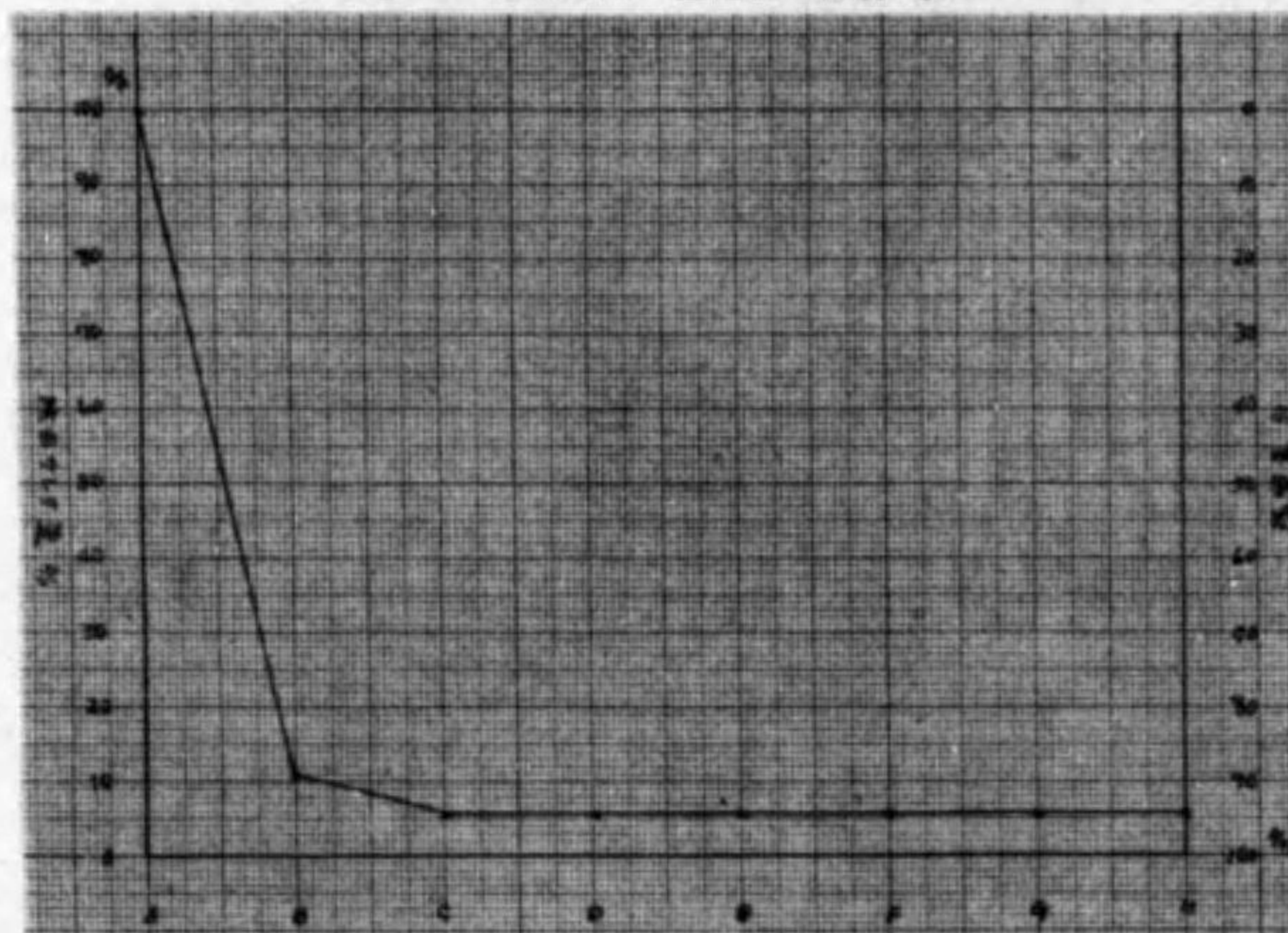


Fig. 18 烧鈍時間—錆造歪の曲線(1)

Fig 19—Table 3 及 Fig 18 より焼鈍により除去された歪を残留せし歪を求める、之れを「グラフ」に示す。



備考一焼鈍せざりしきときの歪を 100% とす

Fig. 19 烧鈍温度—錆造歪曲線(2)

顯微鏡寫真

試料 烧鈍試験用試験片の中央の棒（直徑 20mm）より採取す。

組織 パーライト（白色地）

黒 鉛（黑色地）

處理 A 烧鈍せず

B 550°C にて焼鈍す

C 550°C にて 30 分 烧鈍す

D 550°C にて 1 時間 "

E 550°C にて 1 時間 30 分 "

F 550°C にて 2 時間 "

G 550°C にて 2 時間 30 分 "

H 550°C にて 3 時間 "

腐蝕 上 腐蝕せず

中} 5% ピクリン酸、アルコール溶液にて腐蝕す
下}

組成 3.90% C

1.61% Si

0.51% Mn

0.75% P

0.092% S

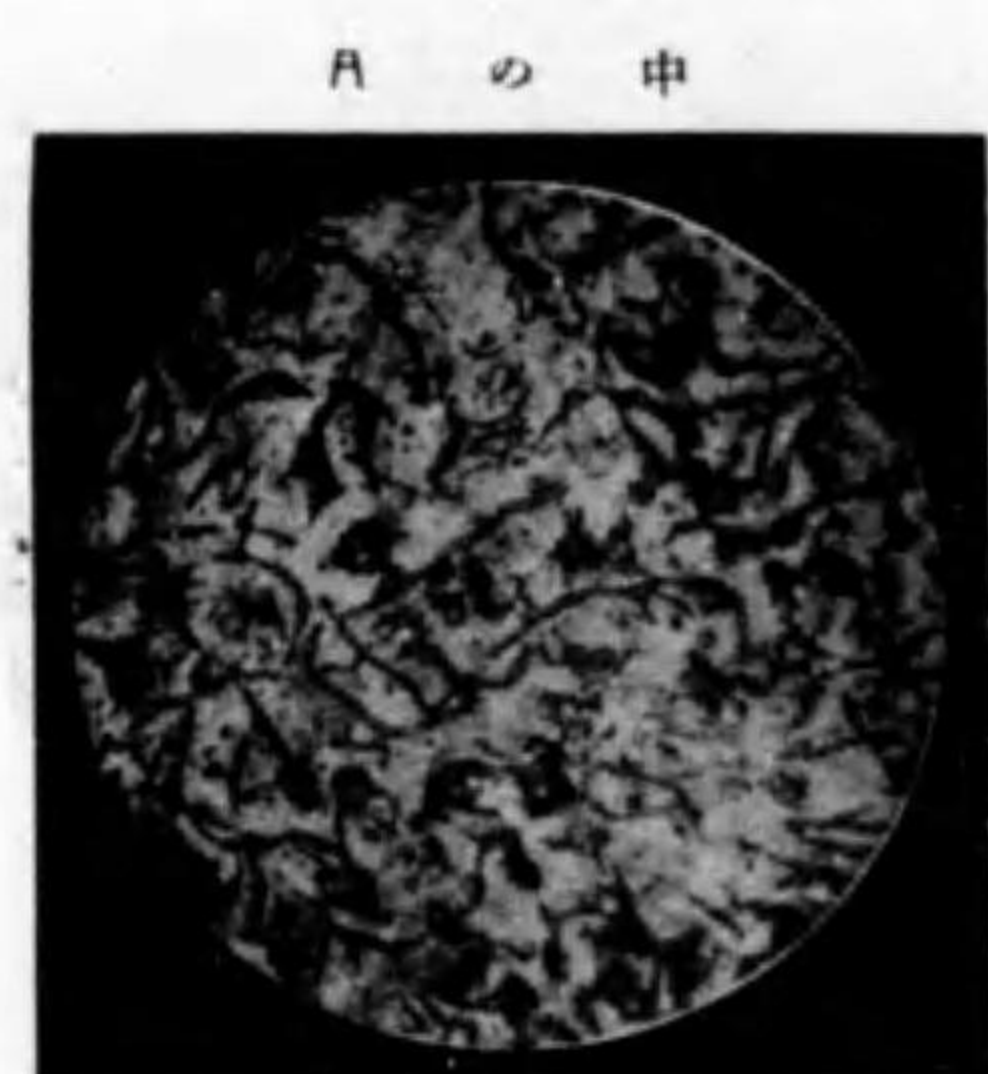
硬度 ショナー硬度 34~35 (Table 5 参照)

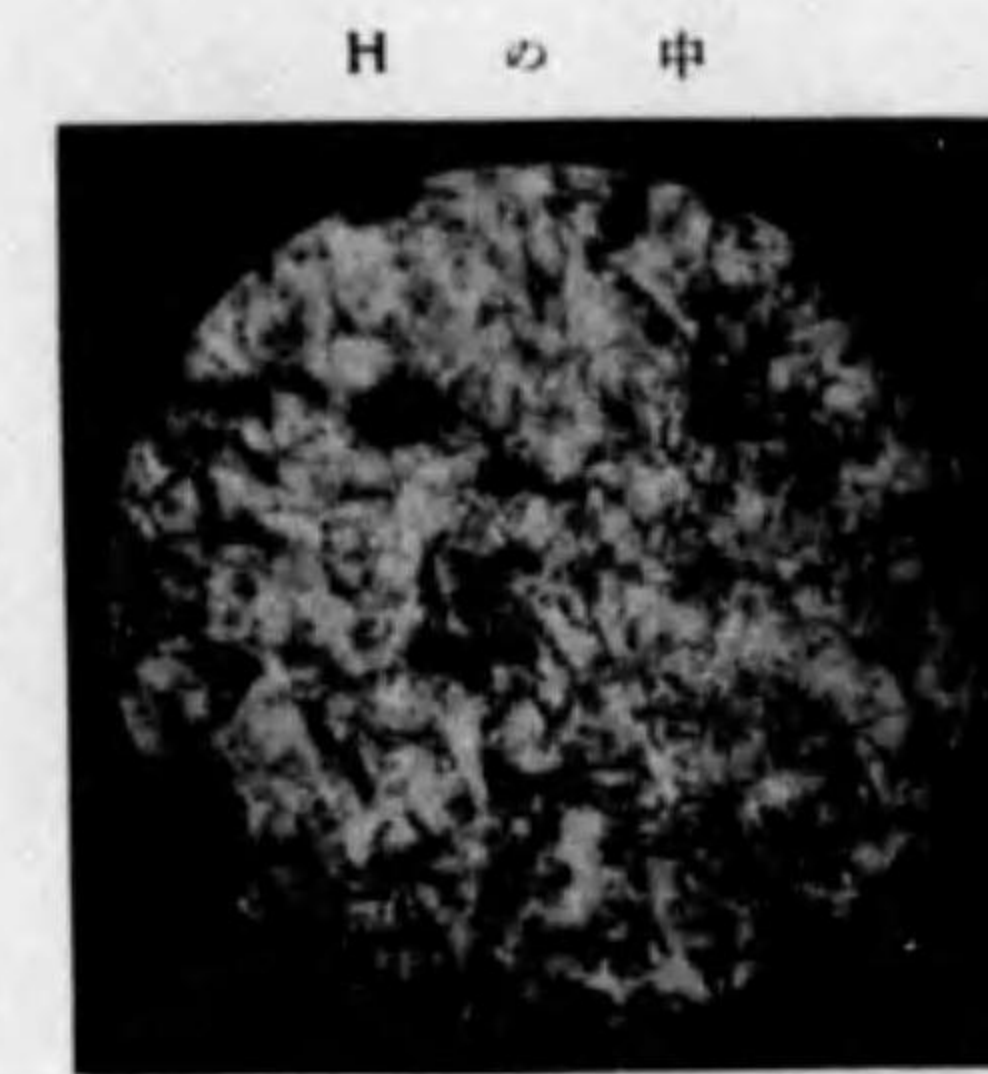
抗張力 21.8~28.9 kg/mm² ("")

倍率 上 ×100

中 ×100

下 ×560





§ 6. 抗張力試験

第二回測定に使用せる試験片にて行ふ。

○試験片

J. E. S. 第四號試験片

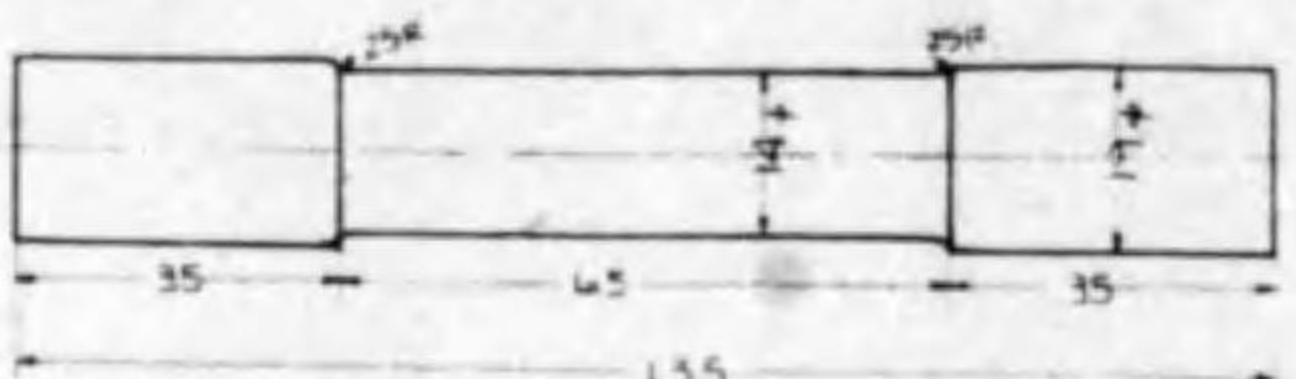


Fig 20 抗張力試験片

試験片採取箇所 (Fig 21)

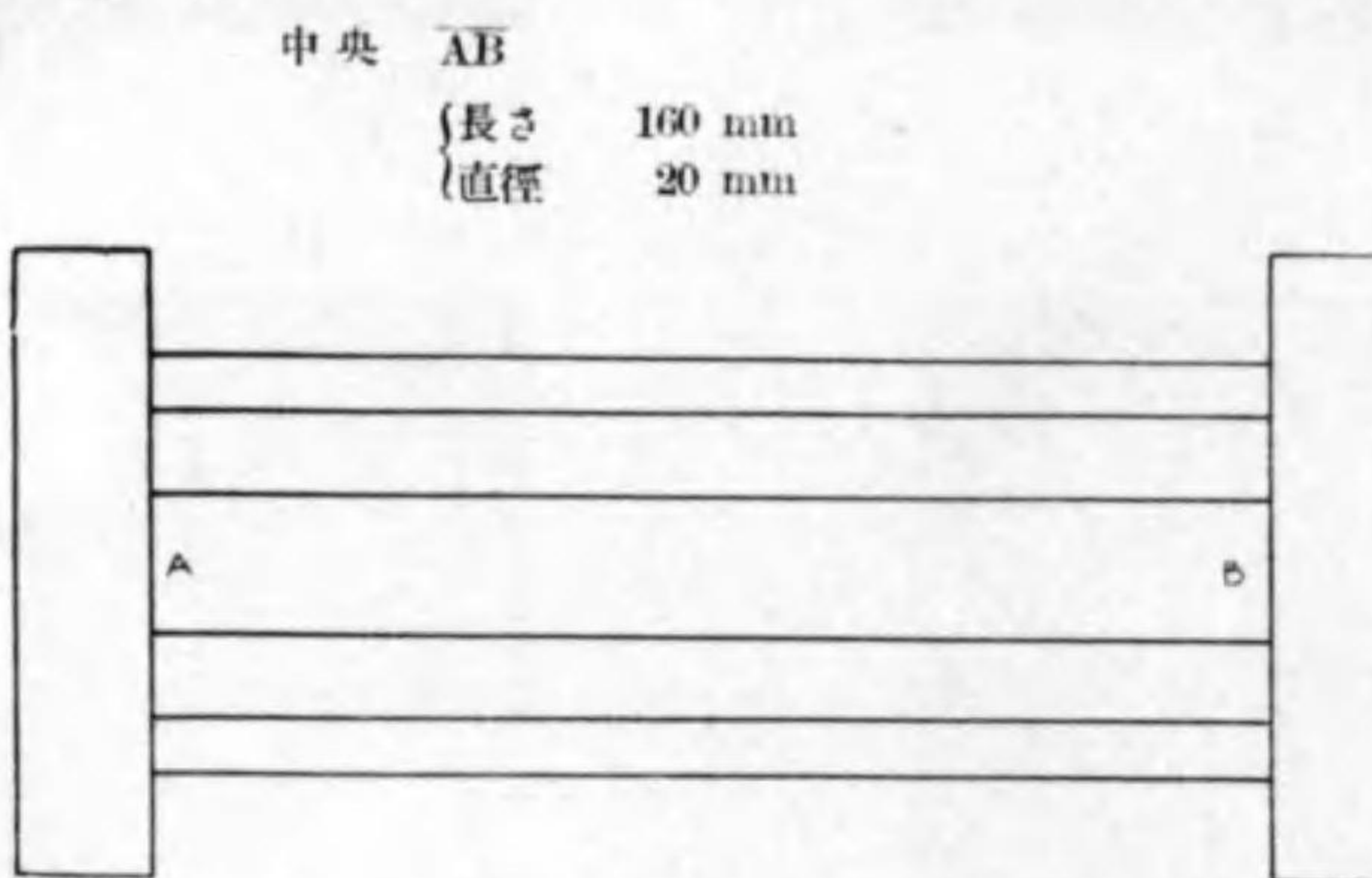


Fig 21 抗張力試験片採取箇所 (AB)

○抗張力

$$\text{抗張力 } \sigma \text{ kg/mm}^2 = \frac{P}{\pi D^2 / 4}$$

P : 荷重 (load) kg

D : 試験片の直径 mm

Table 5

試験片符號	P kg	D mm	σ kg/mm ²	ショアーハード度
A	4200	14.00	27.2	35
B	4450	13.99	28.9	35
C	3920	14.00	25.4	34
D	4000	14.01	25.9	35
E	2450	14.04	15.9	34
F	4180	14.05	27.0	35
G	4450	14.02	28.8	35
H	3300	13.87	21.8	34

註:

E は巣 (Blow hole) のため寸法が小なり。

使用試験片は J. E. S. にて鑄造に對し規格せるものにあらず、従つて規格せられたる抗張力とは比較べきものにあらず。

参考:— J. E. S. 抗張力試験片「抗張力試験は径 30mm に鍛造した丸棒を並行部の径 20mm、長さ 25mm に仕上げた試験片を用ひて試験を行ひ……」

ショアーハード度 34 ≈ ブリネル硬度 200

〃 35 ≈ 〃 210

Table 5 より焼鈍時間と機械的性質との関係を示す。(Fig 22)

E は巣のため抗張力が弱く出でる。

寫真は抗張力試験片の破面を示す。

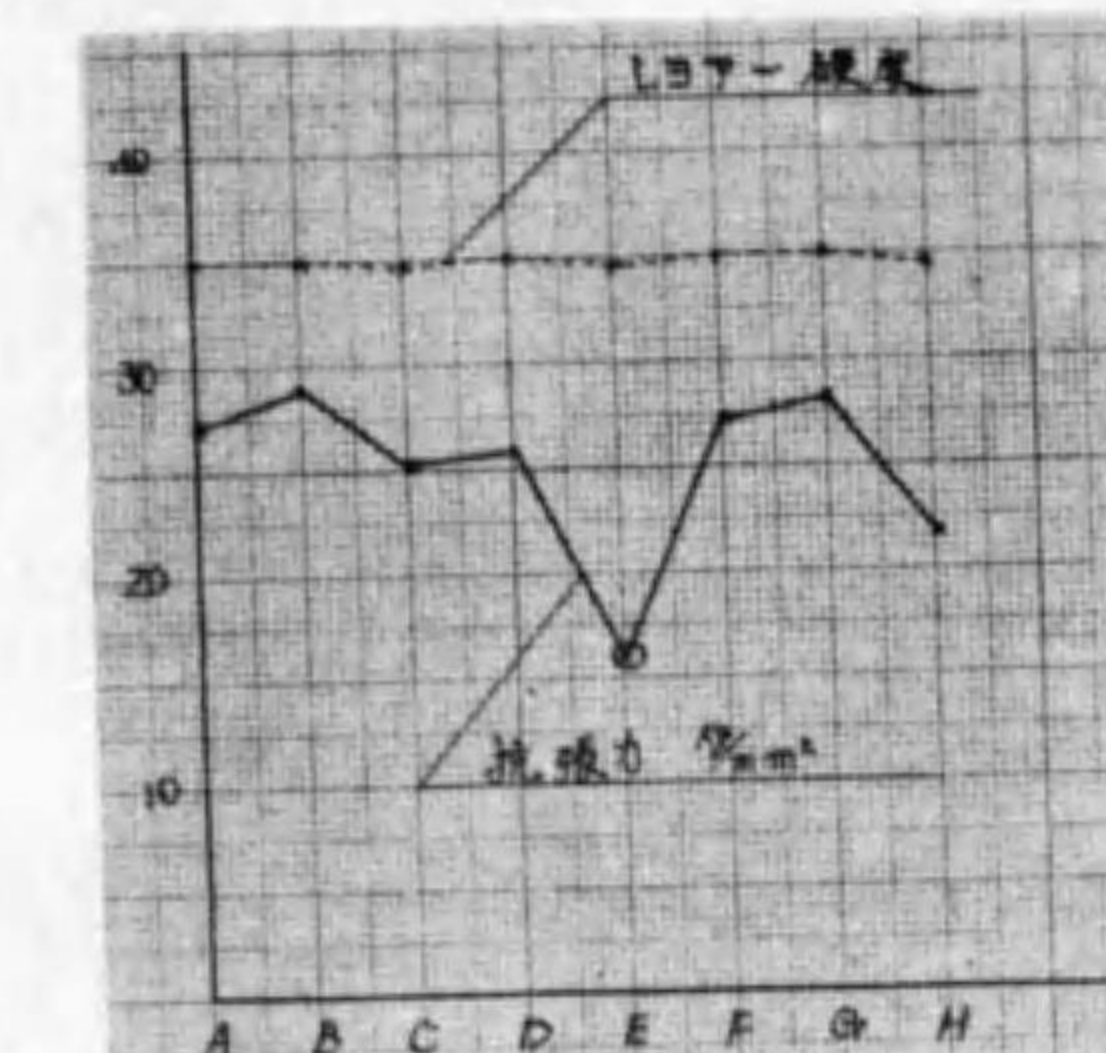
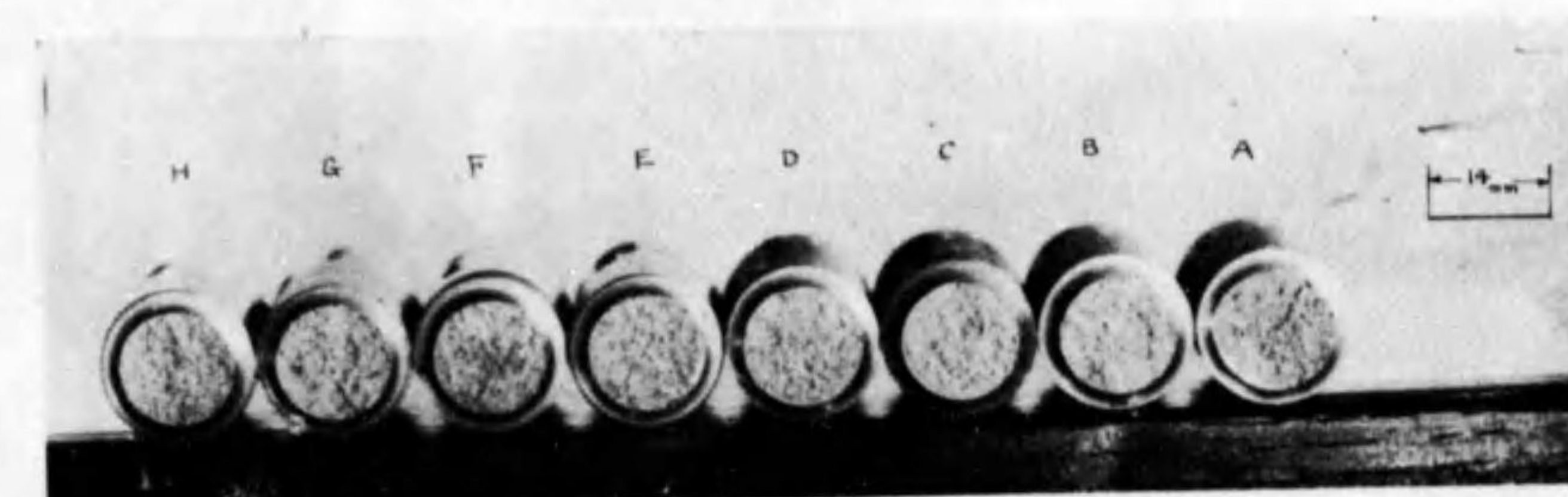


Fig 22 抗張力試験片の破面を示す



§ 7. 結語:

現在鑄造應力 (Casting stress) 除去の方法として行はれてゐるのは「シーズニング」(Seassning) と焼鈍 (Annealing) とである。

而して焼鈍の方法 (加熱方法; 加熱溫度及時間; 冷却方法) には種々あるが現在 350~550°C で適當に焼鈍すれば、内部應力の大部分が除去され、之れを軟化することなしに「シーズニング」の目的を達することが出来る。

そして此の焼鈍を施す時の加熱時間は鑄物の大きさによつて異なるも普通數時間以内で充分である。

この焼鈍温度は即ち普通の鑄鐵は 500°C 位より少しく粘性を持ち 600°C では極めて粘性的になる考へられる (Fig 23) からで要するに鑄物を焼鈍するには常温の炉に入れて加熱し全体を粘性的(或は塑性)変形をなさしめ内部應力を完全に消失せしめ、冷却に當つては出来るだけ徐冷し途中温度差が起らない様にすればよい。

今焼鈍方法の二、三を述べん。

I. 厚味 $1\sim 2''$ ($25\sim 50\text{mm}$) の鑄物に於ては 6 時間かつて 550°C に加熱し、その温度に 6 時間保持し後 150°C 迅速冷却するに 72 時間を要する焼鈍の方法が最適だ云はれてゐる。

又

II. 断面 25mm (約 1 吋) に對し 1 時間加熱と云ふ普通の法則は $427\sim 538^{\circ}\text{C}$ ($350\sim 650^{\circ}\text{C}$ とも云はれてゐる…… No. 1228 Foundry Trade Journal) で加熱される鑄物に對し殆んど適用される。

註: 一 合金元素を多量に含有するものは 621°C までの温度を用ひ、それだけ急速に内力除去が出来る。

III.

材質	焼鈍方法	加熱方法	加熱温度及時間	冷却方法
鑄鐵	徐々に且均一に加熱し 4 時間以上にて 530°C に上昇	530°C にて 3 時間 (小物) 乃至 6 時間 (大物厚物) の間保持	徐々に冷却 36 時間以上にて 200°C に達せしめ炉より取出す。	
鑄物				

機械學會發行—機械工學便覽 P. 1746

以上の如き焼鈍方法が廣く行はれてゐるが、一般に 550°C 程度の焼鈍温度では内部應力を完全に除去することとは實驗結果より見て困難なることにして、又焼鈍温度が 600°C を超えると Fe_3C (セメントイド) が分解を開始するために鑄鐵の硬度が減少はじめ遂に 800°C に到れば抗張力及硬度は著しく低下することは實驗の結果が如實に示してゐる。

從つて内部應力及機械的性質の兩方より考へて $530^{\circ}\text{C}\sim 550^{\circ}\text{C}$ と云ふ焼鈍温度が廣く採用されるのであつて又幾分内部應力が殘留するも、製品を變形させないやうな小なる應力ならば良いわけである。鑄物は何も應力だけが問題ではない。

外の機械的性能も亦重大である。

應力を除去せんがために鑄物としての大健な性質を悪くする様なことがあつてはならない。

参考: —

1. 鑄物焼鈍試験綜合データ

「鑄物第13卷第四號」

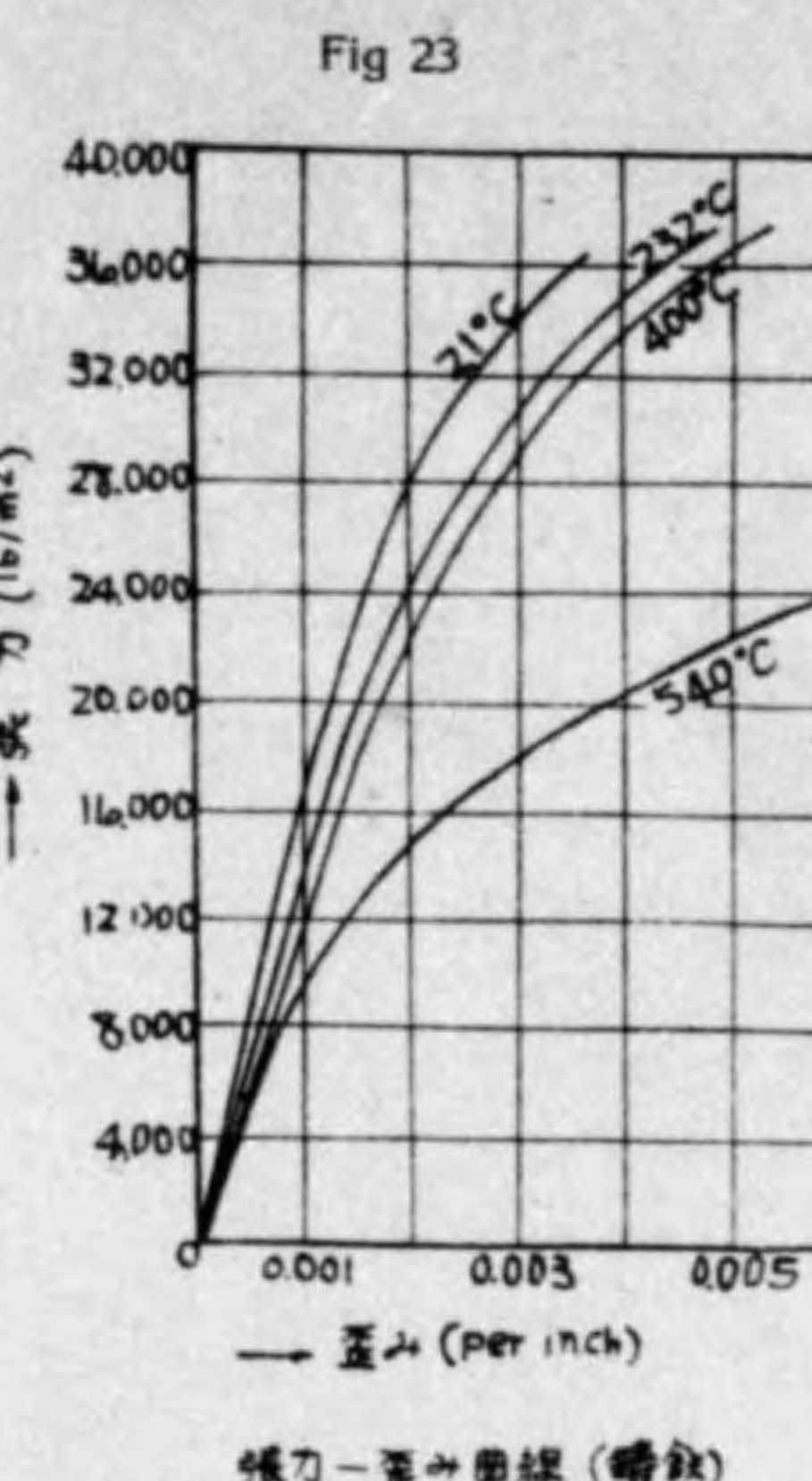
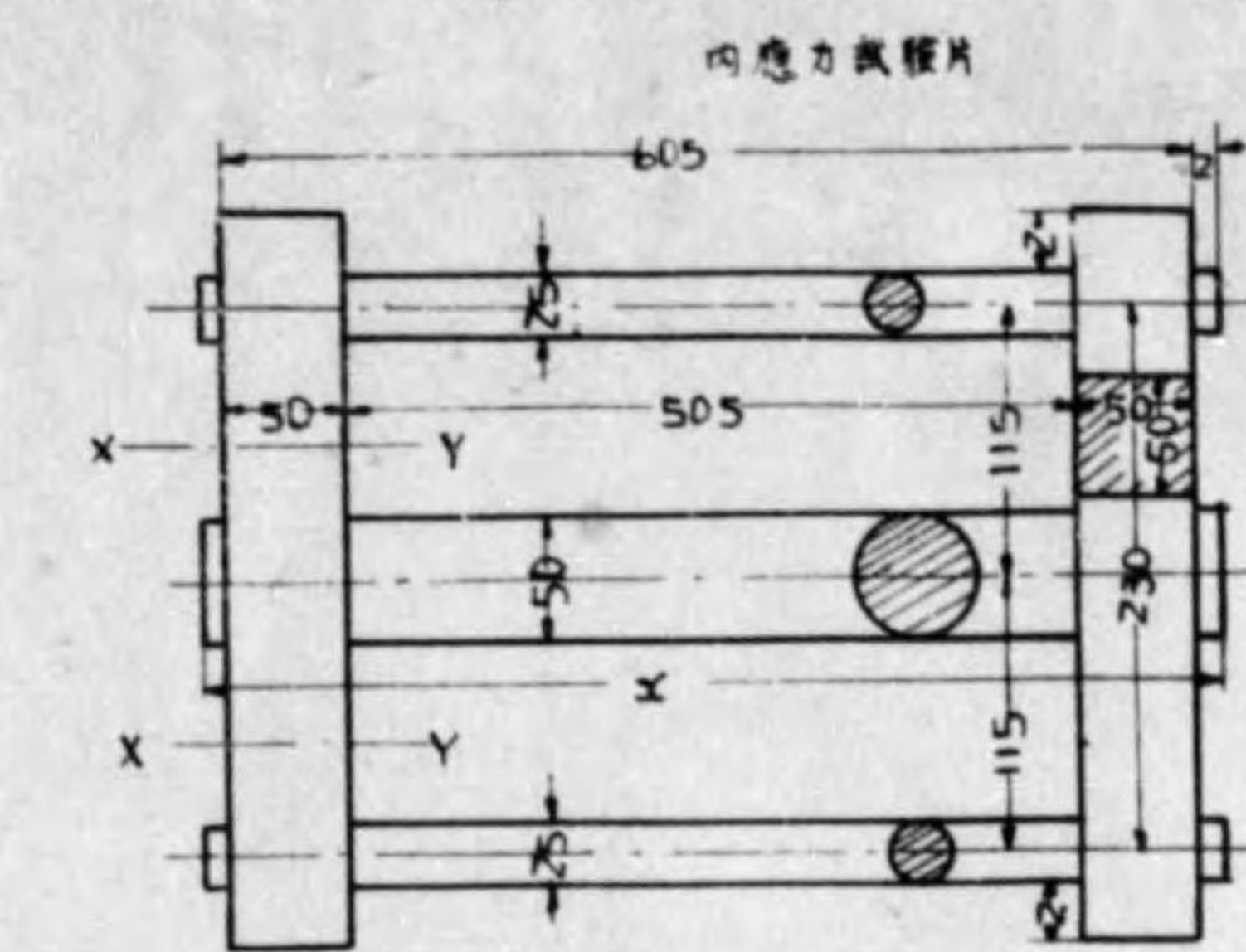
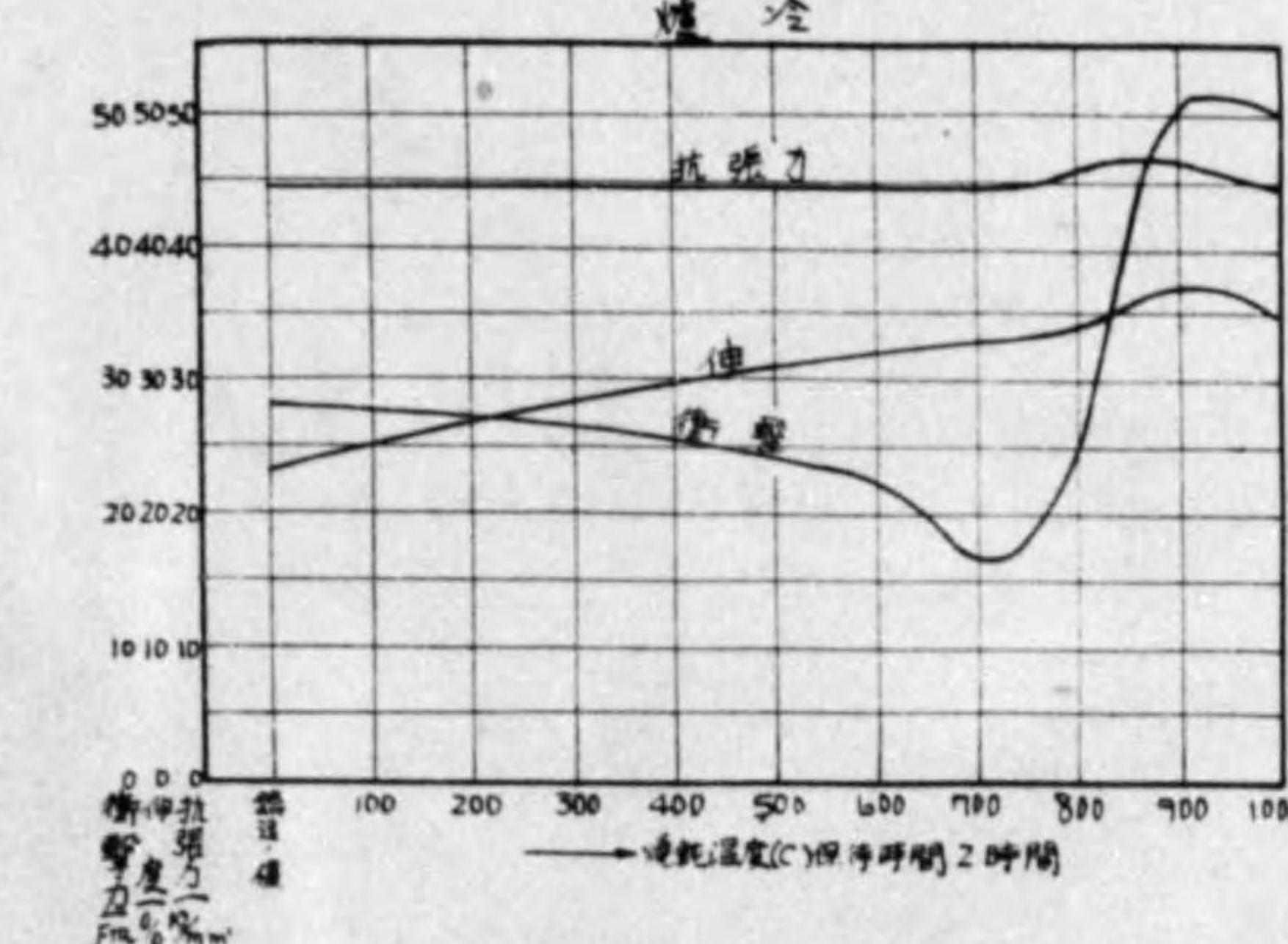


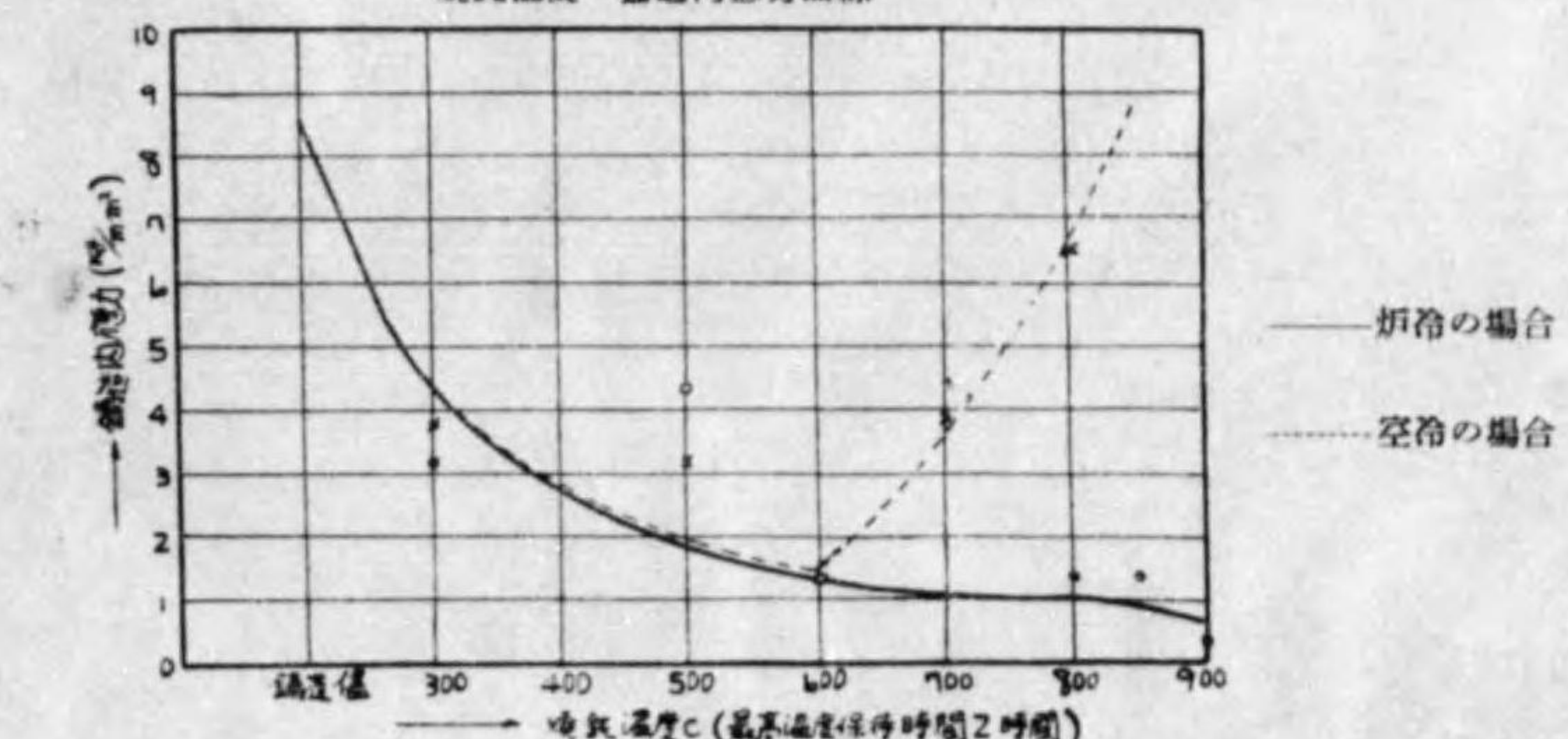
Fig 24 試験片



焼鈍温度と機械的性質



焼鈍温度—鍛造内應力曲線



2. 焼鈍温度と機械的性質

「ジャツチ著工業用材料」

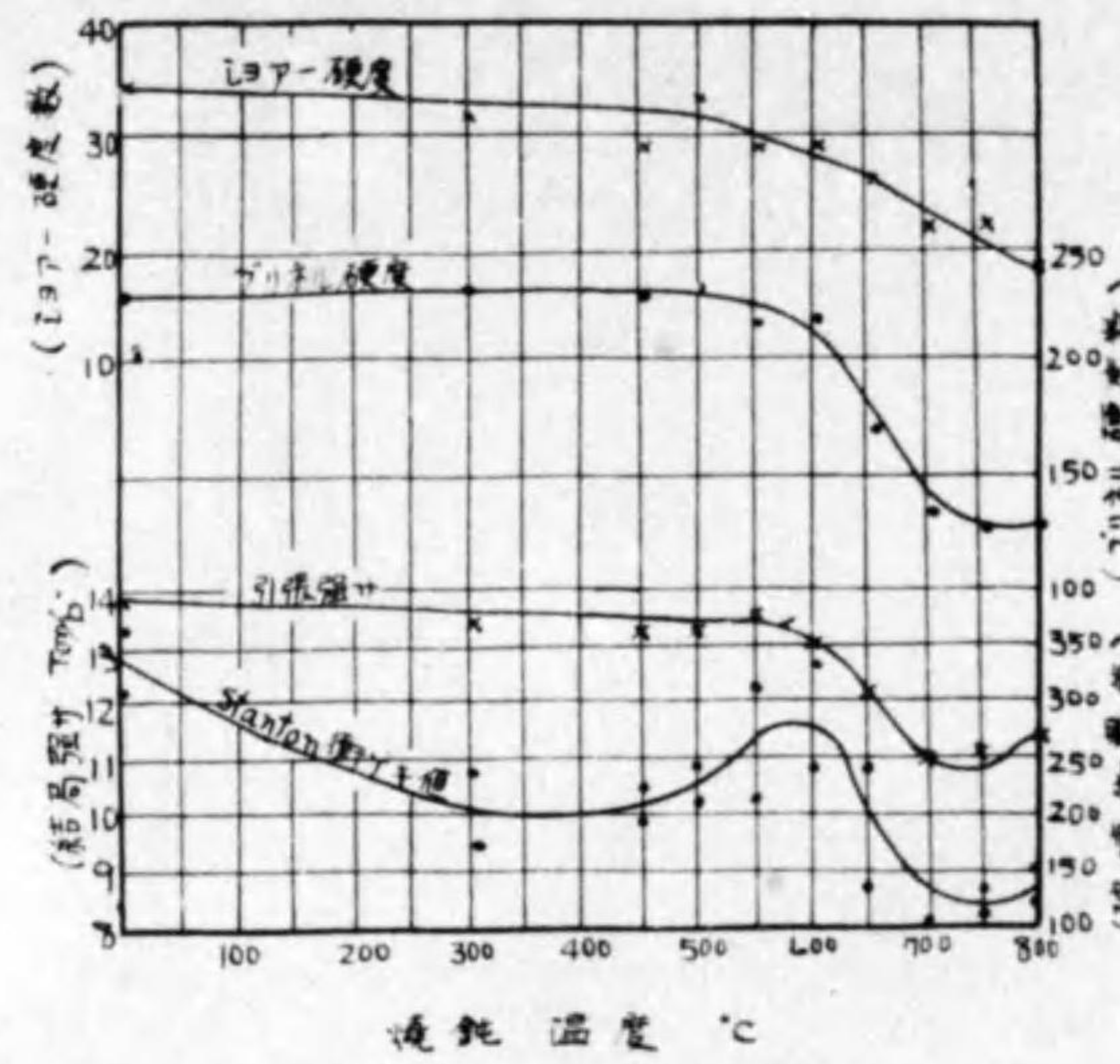


Fig. 25 焼鈍温度と機械的性質

§ 8. テーブルに対する実験:

(a) 本実験には G. H. U 300×1000 研磨盤上下テーブルに Fig. 26 に示す如き径 15mm、長さ 140mm の試験棒を一体に鋸込み、之れを用ひた。

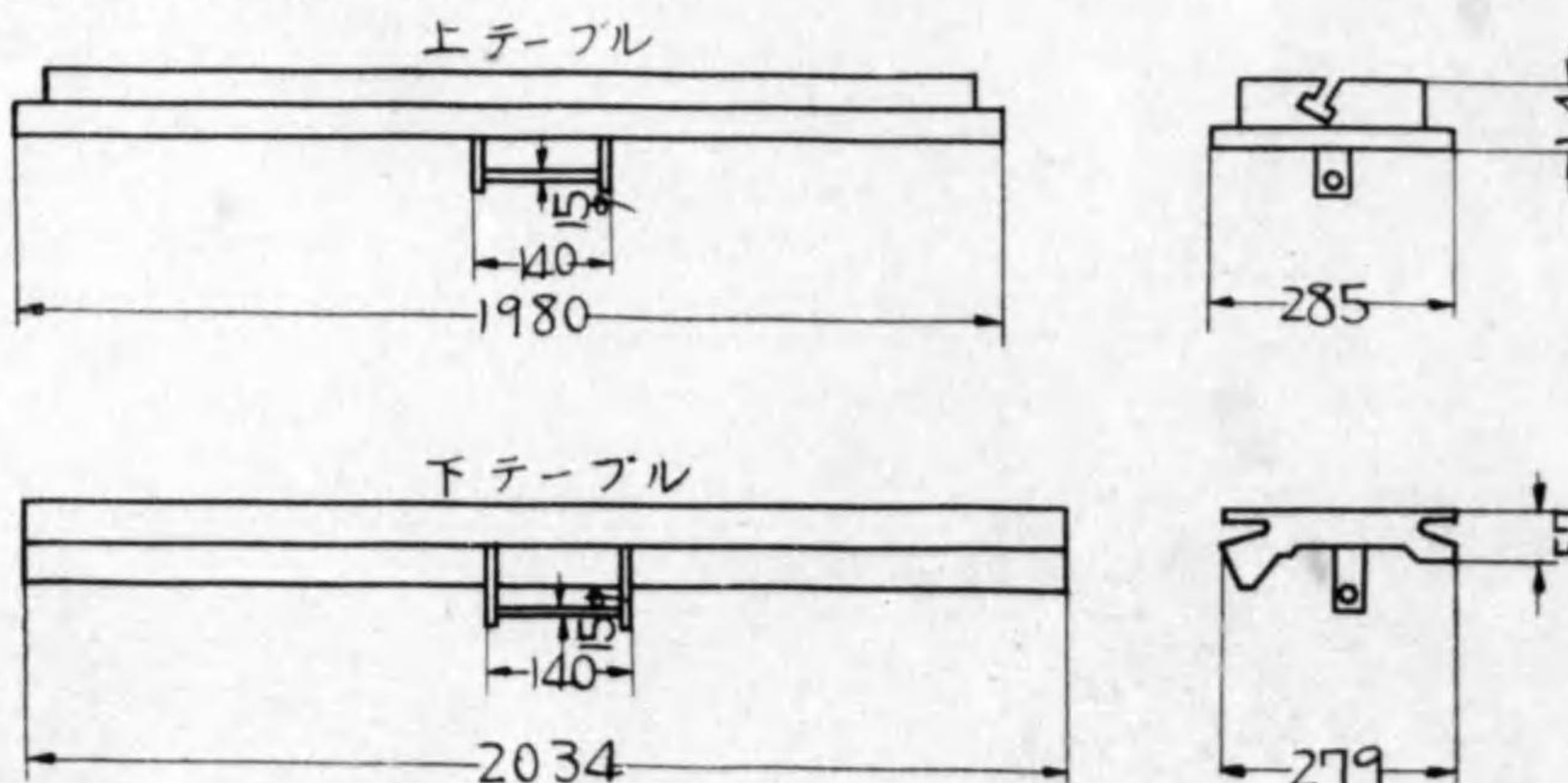


Fig. 26 試験テーブル及試験槽

重測定の方法は前実験と同様の方法によつた。

使用電気炉 90 K.W. 及 300 K.W. (上飯田工場) を使用す。

(b) データ:

(i) 試材: 下テーブル

Table 6

焼鈍温度	焼鈍時間	歪 %	ショアーハード		摘要
			焼鈍前	焼鈍後	
焼鈍せず	—	0.04	34	—	200°Cまで炉中冷却(31~35時間を要す)
550	3	0.02	測定せず	31	"
550~600	4	0.01	33	31	"
530	5	0.02	35	32	"
550	6	0.02	34	32	"
550	8	0.02	35	33	"

備考:一 歪は 15, 6, 140 の試験棒の切断前、切断後の長さより % を求めた。

加熱開始後の時間経過と温度上昇の関係を示す。(Fig. 27~31)

炉内温度と試材の温度とは加熱の時には相当の開きがある故参考のため実線、点線で二者を區別した。

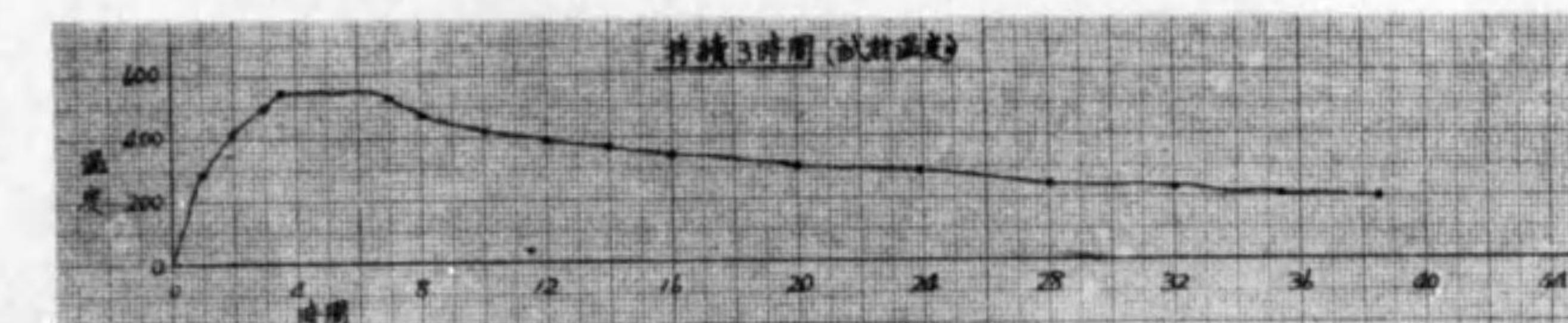


Fig. 27 時間一焼鈍温度曲線

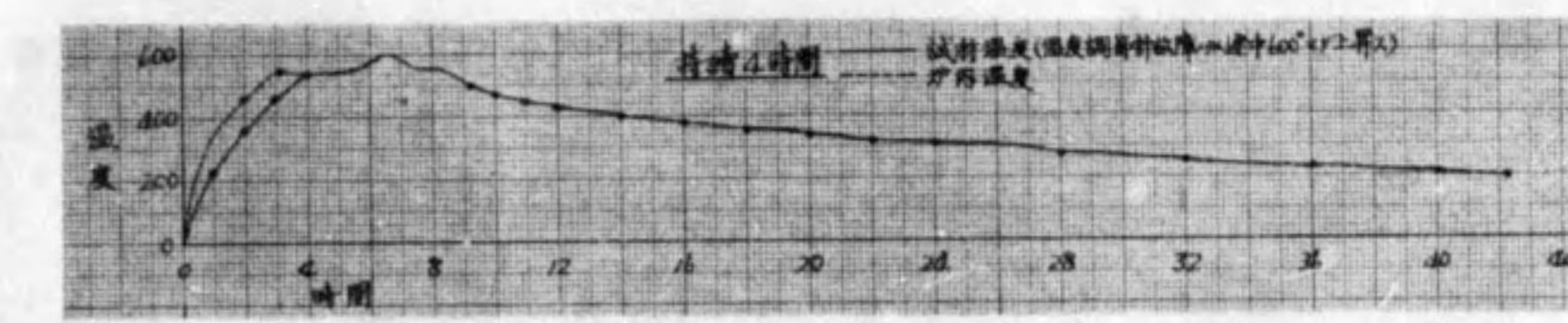


Fig. 28 時間一焼鈍温度曲線

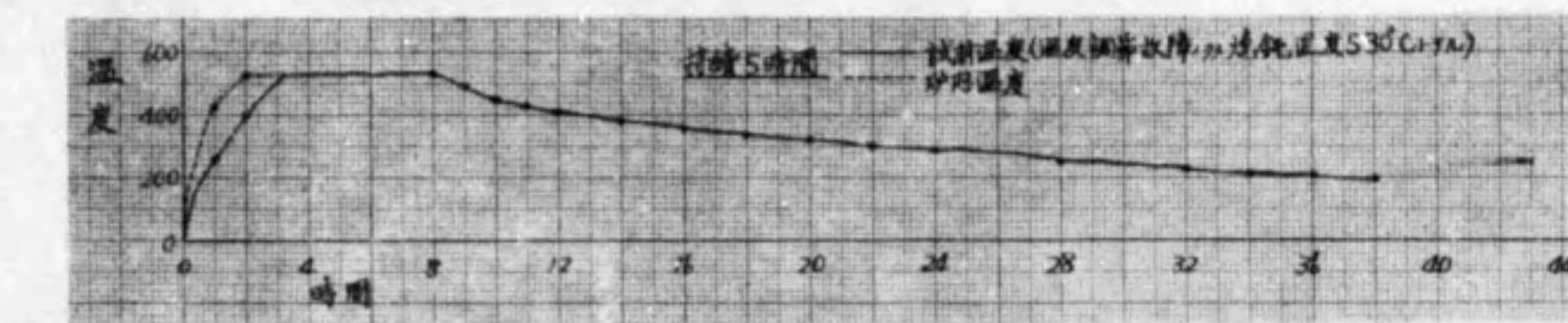


Fig. 29 時間一焼鈍温度曲線

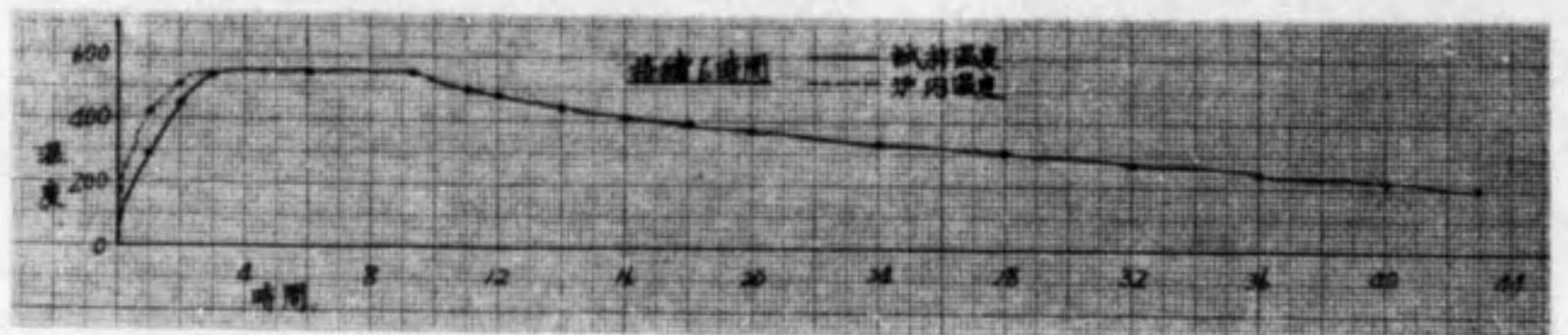


Fig. 30 時間一焼鈍温度曲線

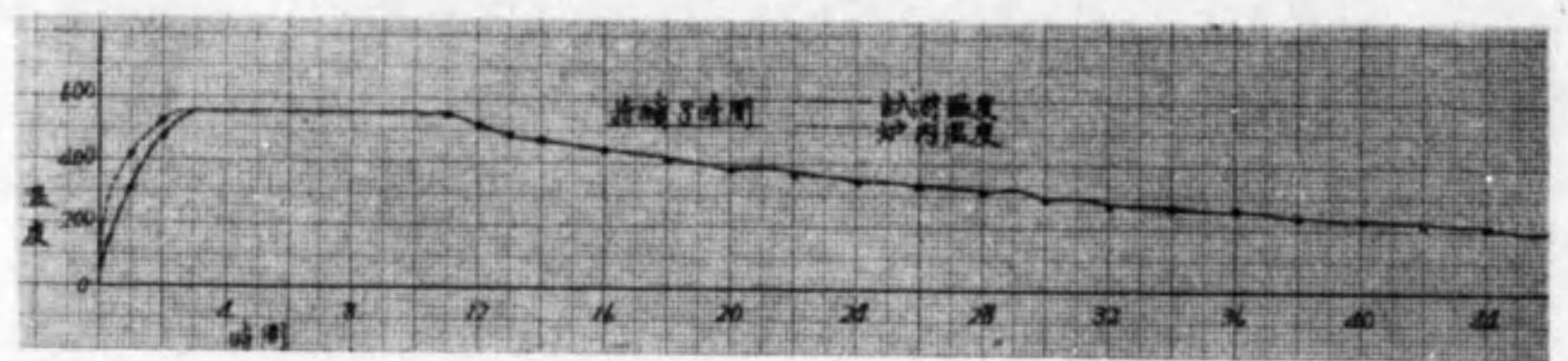


Fig. 31 時間一焼鈍温度曲線

焼鈍時間と試験箇處の収縮量（除去された歪）との関係を示す。(Fig. 32)

収縮量は 140mm に対するものを示す。

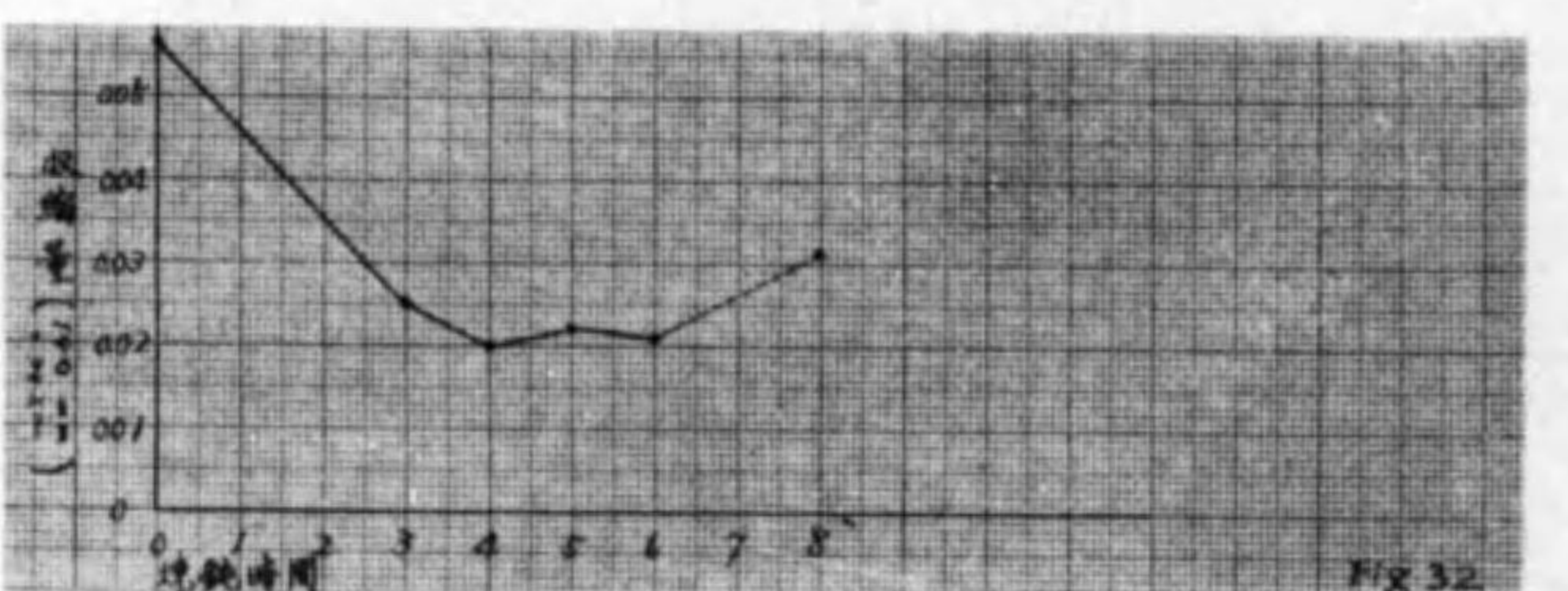


Fig. 32 焼鈍温度と収縮量

(ii) 試 材： 上テーブル

Table 7

焼鈍温度	焼鈍時間	歪 %	ショアーハード		摘要
			焼鈍前	焼鈍後	
焼鈍せり	—	0.03	35	—	
600	5	0.01	33	31	200°Cまで炉中冷却(31~35時間を要す)
550	6	0.02	32	31	
500	8	0.01	34	31	
550	12	0.01	32	31	

(データ整理 飯田録三)

99
4

大限技術研究會

以印刷代謄寫

1566.3

566.3-054ウ

54



1200500746874

終